

PACS: 42.79.WC, 78.40.-Q, 78.67.-N, 78.70.-G

В.В. Гоженко¹, Л.Г. Гречко¹, М.Л. Дмитрук², О.Ю. Семчук¹

Оптичні властивості малої кулі поблизу підкладки

*Інститут хімії поверхні НАН України, вул. Генерала Наумова 17, Київ 03164,
т. (044) 444-96-97, E-mail: user@surfchem.freenet.kiev.ua*

Інститут фізики напівпровідників НАН України, пр. Науки, 45, 03028, м. Київ, Україна

В електростатичному наближенні розглянуто вплив підкладки на оптичні властивості малої кулястої частинки. Для модельної системи "однорідна куля поблизу напівнескінченної підкладки в однорідному зовнішньому полі" отримано систему рівнянь для знаходження мультипольних коефіцієнтів розкладу електростатичного потенціалу кулі. В дипольному наближенні знайдено тензор поляризованості кулі в такій системі і проаналізовано ефекти впливу підкладки на оптичні спектри частинки.

Ключові слова: наночастинки, поверхневі плазмони, мультипольний розклад, дипольне наближення, спектр поглинання.

Стаття постуила до редакції 27.08.2002; прийнята до друку 23.02.2002

I. Вступ

Велика кількість фізичних застосувань малих (звичайно нанорозмірних) частинок пов'язана з використанням їх у вигляді різноманітних плівок та покриттів для потреб оптики, оптоелектроніки та інтегральної оптики. Важливим при цьому є те, що такі частинки здатні сильно взаємодіяти з електромагнітним випромінюванням. З часів роботи Мі [1] цей факт пояснюється збудженням поверхневих плазмонів в частинках, що призводить, наприклад, до появи нового піку поглинання у спектрі частинки порівняно із спектром відповідного суцільного матеріалу. Взаємодія частинок (через індуковані поля) як між собою, так і з підкладкою призводить до подальшої модифікації одночастинкового спектру.

Вплив міжчастинкової взаємодії вивчений до цього часу досить детально. В роботі [2] показано, що навіть диполь-дипольна частина цієї взаємодії викликає розщеплення одночастинкового резонансу і зміщення новоутворених резонансів в напрямку як червоної, так і фіолетової межі спектру. Як свідчить експеримент [3], такі ж ефекти мають місце і внаслідок взаємодії частинок з підкладкою. Але в теоретичних роботах загальноприйнято вважати (див., наприклад, [4,5]), що ця взаємодія може призводити лише до червоного зміщення одночастинкового резонансу. Для пояснення ж спостережуваного фіолетового зміщення доводиться залучати ефекти нелокальності [6] або розмірні [7] чи навіть квантові [8] ефекти.

В даній роботі показано, що експериментально

спостережувані ефекти розщеплення і зміщення резонансу малої частинки внаслідок її взаємодії з підкладкою цілком природно пояснюються на основі класичної електростатики з використанням простого дипольного наближення для поляризованості частинки та моделі Лоренца для діелектричної проникності матеріалу частинки та підкладки.

II. Основні рівняння

Оптичні властивості малої кулі визначаються, головним чином, її (дипольною) поляризованістю α . Якщо вираз для α відомий, то можна обчислити [9] ефективності поглинання та розсіяння світла частинкою, а з умови $\alpha(\omega_{\text{res}}) \rightarrow \infty$ – також і частоту резонансного поглинання ω_{res} . Поляризованість кулі поблизу підкладки можна знайти з розв'язку відповідної задачі.

В багатьох випадках реальні системи малих частинок, розташованих на підкладці, можна розглядати як системи однорідних куль поблизу напівнескінченного середовища. Такий розгляд є застосовним у тих випадках, коли розміри частинок набагато менші за товщину підкладки, що звичайно й має місце тоді, коли працюють з наночастинками. Оскільки ми цікавимося впливом на оптичні властивості частинок саме підкладки і не цікавимося впливом інших (сусідніх) частинок, будемо надалі розглядати модельну систему, що складається лише з єдиної однорідної кулі радіуса R , розташованої в однорідному напівнескінченному середовищі поблизу однорідної напівнескінченної

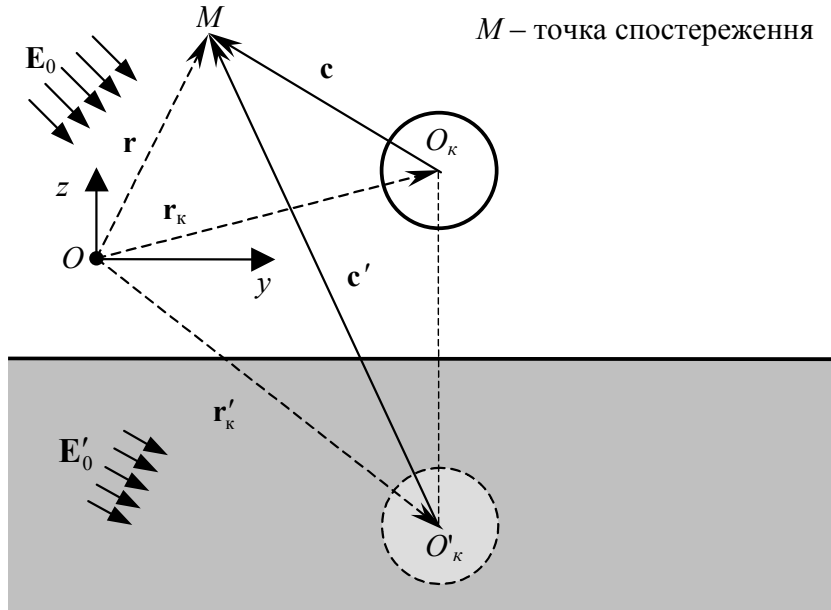


Рис. 1. Куля поблизу підкладки в однорідному зовнішньому полі \mathbf{E}_0

підкладки (рис. 1). Поле монохроматичної хвилі $\mathbf{E} = \mathbf{E}_0 e^{i(\mathbf{k}\mathbf{r} - \omega t)}$, яка освітлює систему, за умови $R \ll \lambda$ (λ – довжина хвилі) майже не змінюється в об'ємі та околі частинки, тому оптичні ($\lambda \sim 300$ нм) властивості наночастинки ($R \sim 10$ нм) можна отримати з електростатичного наближення, тобто розглядаючи систему в однорідному електростатичному полі напруженістю \mathbf{E}_0 .

Нехай ϵ , ϵ_a та ϵ_s є діелектричні проникності відповідно кулі, оточуючого середовища (ambient) та підкладки (substrate). Потенціал ψ результуючого поля в нашій модельній системі повинен задовольняти рівнянню Лапласа $\Delta\psi(\mathbf{r}) = 0$ та стандартним граничним умовам

$$\psi^i = \psi^j, \quad \epsilon_i \frac{\partial \psi^i}{\partial n_i} = \epsilon_j \frac{\partial \psi^j}{\partial n_j}, \quad (1)$$

відповідно всередині та на межі областей оточуючого середовища (область I), кулі (область II) та підкладки (область III). Тут ϵ_i – діелектрична проникність речовини, що заповнює i -ту область ($i = I, II, III$), ψ^i – потенціал результуючого поля в області i , а символом σ_{ij} позначено спільну межу поділу областей i та j .

Будемо шукати розв'язок нашої крайової задачі у вигляді [10]

$$\psi^I = \psi_{\text{ext}}^I + \psi_K^I + \psi_s^I = -\mathbf{E}_0 \mathbf{r} + \sum_{lm} A_{lm} F_{lm}(\mathbf{c}) + \sum_{lm} A'_{lm} F_{lm}(\mathbf{c}') \quad (2)$$

$$\psi^{II} = \sum_{lm} B_{lm} G_{lm}(\mathbf{c}), \quad (3)$$

$$\psi^{III} = \psi_{\text{ext}}^{III} + \psi_{\text{ind}}^{III} = -\mathbf{E}'_0 \mathbf{r} + \psi_0^{III} + \sum_{lm} C_{lm} F_{lm}(\mathbf{c}'), \quad (4)$$

де та $\psi_{\text{ext}}^{III} = -\mathbf{E}'_0 \mathbf{r} + \psi_0^{III}$ – потенціал зовнішнього поля \mathbf{E}_0 в оточуючому середовищі та всередині підкладки відповідно; \mathbf{E}'_0 – напруженість зовнішнього поля всередині підкладки ($\mathbf{E}'_0 \neq \mathbf{E}_0$ внаслідок "заломлення" силових ліній на межі підкладки); ψ_0^{III} – сталий внесок до потенціалу ψ_{ext}^{III} , що пов'язаний із вибором початку відліку координат; $\psi_K^I = \sum_{lm} A_{lm} F_{lm}(\mathbf{c})$ – внесок до потенціалу ψ^I , обумовлений полем індукованих зарядів кулі; $\psi_s^I = \sum_{lm} A'_{lm} F_{lm}(\mathbf{c}')$ – внесок індукованих зарядів підкладки; $\psi_{\text{ind}}^{III} = \sum_{lm} C_{lm} F_{lm}(\mathbf{c}')$ – внесок до ψ^{III} від індукованих зарядів кулі та підкладки разом; $F_{lm}(\mathbf{r}) \equiv r^{-l-1} Y_{lm}(\mathbf{e})$ та $G_{lm}(\mathbf{r}) \equiv r^l Y_{lm}(\mathbf{e})$ – кульові гармоніки, регулярні, відповідно, на нескінченності та в нулі; $Y_{lm}(\mathbf{e})$ – сферична функція, нормована стандартним чином [11]; $\mathbf{e} \equiv \mathbf{r}/r$ – одиничний вектор в напрямку \mathbf{r} ; вектори $\mathbf{c} \equiv \mathbf{r} - \mathbf{r}_K$, $\mathbf{c}' \equiv \mathbf{r} - \mathbf{r}'_K$, \mathbf{r}_K та \mathbf{r}'_K показано на рис. 1.

Підставляючи розклади (2)–(4) в граничні умови (1), після дещо громіздких перетворень отримаємо вирази для величин A'_{lm} , B_{lm} , C_{lm} та ψ_0^{III} через коефіцієнти A_{lm} , а також систему рівнянь для знаходження самих коефіцієнтів A_{lm} :

$$\begin{aligned} \Psi_0^{\text{III}} &= \left(1 - \frac{\varepsilon_a}{\varepsilon_s}\right) E_{0z} h_0, \quad A'_{lm} = (-1)^{l+m} \frac{\varepsilon_a - \varepsilon_s}{\varepsilon_a + \varepsilon_s} A_{lm}, \\ C_{lm} &= \frac{2\varepsilon_a}{\varepsilon_a + \varepsilon_s} A_{lm}, \\ \sum_{lm} \{ \delta_{l_1 m_1}^{lm} + K_{l_1 m_1}^{lm} \} A_{lm} &= U_{l_1 m_1}, \quad (5) \end{aligned}$$

де E_{0z} – z -координата вектора \mathbf{E}_0 ; h_0 – висота початку відліку координат O над підкладкою;

$$\begin{aligned} K_{l_1 m_1}^{lm} &\equiv (-1)^{l+m} \frac{\varepsilon_a - \varepsilon_s}{\varepsilon_a + \varepsilon_s} a_1 T_{lm}^{l_1 m_1} F_{LM}(\mathbf{r}'_k - \mathbf{r}_k), \\ a_1 &\equiv \frac{l(\varepsilon - \varepsilon_a)}{l\varepsilon + (l+1)\varepsilon_a} R^{2l+1}, \quad U_{lm} \equiv \sqrt{\frac{4\pi}{3}} a_1 E_0^m \delta_1^l, \end{aligned} \quad (6)$$

$$\begin{aligned} T_{lm}^{l_1 m_1} &\equiv (-1)^{l+m_1} \left[4\pi \frac{(2l+1)}{(2l_1+1)(2L+1)} \times \right. \\ &\times \left. \frac{(L+M)!(L-M)!}{(l+m)!(l-m)!(l_1+m_1)!(l_1-m_1)!} \right]^{1/2} \\ E_0^m &\equiv \sqrt{\frac{4\pi}{3}} E_0 Y_{lm}^*(\mathbf{E}_0), \quad (7) \end{aligned}$$

$\delta_{l_1 m_1}^{lm} \equiv \delta_{l_1}^l \delta_{m_1}^m$ – багатоіндексний символ Кронекера, $l_1 = 0, 1, 2, \dots$, $m_1 = -l_1, \dots, l_1$, $L \equiv l + l_1$, $M \equiv m - m_1$, а символом $*$ позначене комплексне спряження.

Система рівнянь (5) дозволяє обчислити мультипольні коефіцієнти A_{lm} розкладу поля індукованих зарядів кулі і тому є основою для обчислення тензора поляризованості \mathfrak{C} кулі, компоненти якого виявляються пропорційними до A_{lm} ($l=1, m=-1, 0, 1$) [12]:

$$A_{lm} = \sqrt{\frac{4\pi}{3}} \alpha_{m_1}^m E_0^{m_1}. \quad (8)$$

III. Поляризованість та оптичні властивості кулі

В дипольному наближенні, тобто відкидаючи всі члени з $l > 1$, з (5) та (8) можна отримати

$$\alpha_{m_1}^m = \frac{a_1}{1 + \eta_m \frac{\varepsilon_a - \varepsilon_s}{\varepsilon_a + \varepsilon_s} \frac{a_1}{(2h)^3}} \delta_{m_1}^m, \quad (9)$$

де $\eta_m \equiv \begin{cases} 1, & m = \pm 1 \\ 2, & m = 0 \end{cases}$, а h є висота центру кулі над

підкладкою. Отже, в обраній системі координат (див. рис. 1) тензор поляризованості кулі має діагональний вигляд, причому компоненти $\alpha_1^1 = \alpha_{-1}^{-1} \equiv \alpha^{\parallel}$ описують поляризацію кулі в напрямку вздовж підкладки, а $\alpha_0^0 \equiv \alpha^{\perp}$ – в

напрямку нормалі до підкладки [12]. Вираз (9) є основним для подальшого вивчення впливу підкладки, який можна провести аналітично або чисельно. Нижче ми використаємо обидві можливості.

1. Для отримання деяких *аналітичних* результатів вважатимемо, що куля і підкладка мають частотно-залежні діелектричні проникності лоренцевого типу [9] (індексом s позначені величини, що стосуються підкладки)

$$\begin{aligned} \varepsilon(\omega) &= 1 + \frac{\omega_p^2}{\omega_0^2 - \omega^2 - i\gamma\omega}, \\ \varepsilon_s(\omega) &= 1 + \frac{\omega_{ps}^2}{\omega_{0s}^2 - \omega^2 - i\gamma_s\omega}, \quad (10) \end{aligned}$$

а оточуючим середовищем є вакуум або розріджені газу ($\varepsilon_a = 1$). В цьому випадку з умови $\alpha(\omega_{\text{res}}) \rightarrow \infty$ в наближенні малого загасання ($\gamma = \gamma_s = 0$) знаходимо з (9) резонансні частоти поглинання світла кулею:

$$(11)$$

$$\text{де } \tilde{\omega}_0^2 \equiv \omega_0^2 + \omega_p^2/3, \quad \tilde{\omega}_{0s}^2 \equiv \omega_{0s}^2 + \omega_{ps}^2/2,$$

$x_m \equiv \eta_m [R/(2h)]^3$. З виразу (11) бачимо, що, на відміну від поодинокій кулі, яка має, як відомо [9], єдиний (фр'юліхівський) дипольний резонанс, розташована поблизу підкладки куля має чотири резонансні частоти $(\omega_{\text{res}}^{\pm})_m^{\pm}$, що відповідають знакам "+" або "-" перед коренем у (11) та двом значенням $m = 0, \pm 1$. Схема розташування резонансів по відношенню до частот $\tilde{\omega}_0^2$ та $\tilde{\omega}_{0s}^2$ наведена на рис. 2.

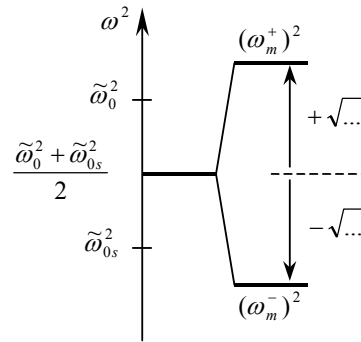


Рис. 2. Розташування резонансів ω_m^+ та ω_m^- згідно рівняння (11). Розщеплення одночастинкового резонансу показано схематично для однієї з компонент поляризованості (α^{\perp} або α^{\parallel}). Для іншої компоненти якісний характер розщеплення такий самий, але з іншою величиною квадратного кореня $\sqrt{\dots}$ з рівняння (11)

Далі, для розглядуваного нами випадку лоренцевих діелектричних функцій (10) поляризованість (9) можна записати у вигляді

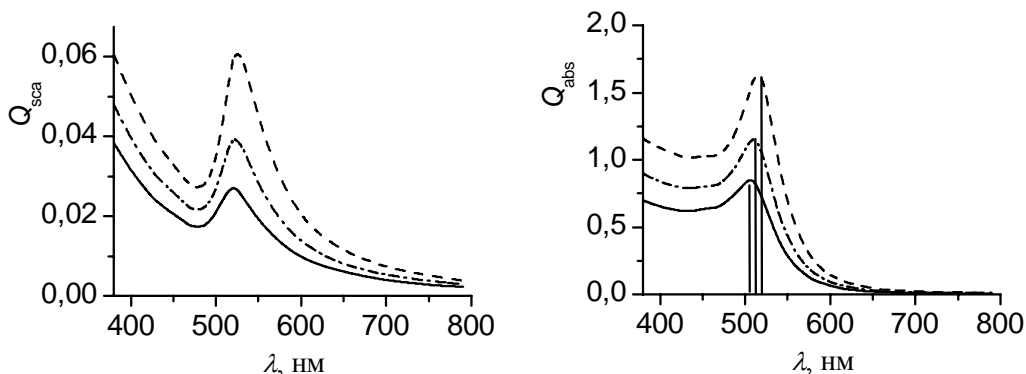


Рис. 3. Ефективності Q_{sca} , Q_{abs} розсіяння та поглинання світла кулею із золота радіусом $R = 20$ нм на підкладці з арсеніду галію у вакуумі. Пунктирні та штрих-пунктирні криві – поздовжні та поперечні величини відповідно, суцільні криві – та ж куля, але без підкладки.

$$\alpha_m^m = R^3 \frac{\omega_p^2}{3} \left\{ \frac{f_m^+}{(\omega_m^+)^2 - \omega^2} + \frac{f_m^-}{(\omega_m^-)^2 - \omega^2} \right\}, \quad (12)$$

де $f_m^+ \equiv \frac{(\omega_m^+)^2 - \tilde{\omega}_{0s}^2}{(\omega_m^+)^2 - (\omega_m^-)^2}$,

$$f_m^- \equiv \frac{\tilde{\omega}_{0s}^2 - (\omega_m^-)^2}{(\omega_m^+)^2 - (\omega_m^-)^2} \quad (13)$$

З огляду на те, що $f_m^+ + f_m^- \equiv 1$, величини f_m^+ та f_m^- можна прямо трактувати як сили осциляторів мод ω_m^+ та ω_m^- відповідно, а поляризованість (12) – як результат суперпозиції внесків цих двох мод. Зауважимо, що якщо частота ω_m^+ або ω_m^- розташована поблизу частоти $\tilde{\omega}_{0s}$, то сила осцилятора відповідної моди згідно (13) виявляється малою і, отже, сама мода – оптично неактивною. Вирази (13) дозволяють, таким чином, визначити, які з чотирьох збуджуваних резонансних мод кулі ω_m^\pm ($m=0, \pm 1$) є оптично активними і можуть спостерігатися в експерименті.

2. Вираз (9) може бути використаний також для проведення чисельних розрахунків оптичних властивостей малої кулі поблизу підкладки за відомими формулами [9]. При цьому можна використовувати величини ϵ , ϵ_a , ϵ_s будь-якого вигляду, включаючи реалістичні. Як приклад, на рис. 3 наведено результати розрахунку ефективностей розсіяння Q_{sca} та поглинання Q_{abs} світла наночастинкою золота радіусом 20 нм, що лежить на підкладці з арсеніду галію. Розмір частинки і комбінацію матеріалів взято з роботи [13],

а величини $\epsilon_{Au}(\lambda)$ та $\epsilon_{GaAs}(\lambda)$ – з [14]. Як видно з рис. 3, підкладка розщеплює і дещо зсуває резонансну частоту кулі, а також майже вдвічі збільшує ефективності Q_{sca} та Q_{abs} .

IV. Висновки

Присутність підкладки кардинальним чином впливає на оптичні властивості малої частинки. Взаємодія зарядів, індукованих в частинці та підкладці полем електромагнітної хвилі, призводить до розщеплення резонансу кулястої частинки на чотири резонанси. Положення та інтенсивність новоутворених резонансів визначаються розміром частинки та її відстанню від підкладки, а також комбінацією діелектричних проникностей частинки, підкладки та оточуючого середовища. Резонанси, частоти яких мало відрізняються від частоти $\tilde{\omega}_{0s} \equiv [\omega_{0s}^2 + \omega_{ps}^2 / 2]^{1/2}$, що визначається лише параметрами підкладки, виявляються оптично неактивними. Вплив підкладки призводить, крім того, до збільшення поглинання та розсіяння світла частинкою.

Гоженко В.В. – молодший науковий співробітник;
Гречко Л.Г. – доктор фізико-математичних наук, провідний науковий співробітник;
Дмитрук М.Л. – доктор фізико-математичних наук, провідний науковий співробітник;
Семчук О.Ю. – кандидат фізико-математичних наук, старший науковий співробітник

- [1] В.К. Медведев, Т.П. Смерека, С.И. Степановский и др. Адсорбция тербия и гадолиния на грани (100) кристалла вольфрама. // *ФТТ*, **33**(12), сс. 3623-3626 (1991).
- [2] Т.П. Смерека, С.И. Степановський, Ф.М. Гончар, Р.Р. Каменецкий. Електронно-адсорбційні властивості плівок гольмію на грані (100) кристалла вольфраму. // *Вісн. Львів. ун-ту. Сер. Фіз.*, сс. 107-111 (1993).

- [3] N. Oslemzadeh, S.D. Barrett, J. Ledieu and E. Cox. A $c(2 \times 2)$ structure of Dy on W(100) with high thermal stability. // *Surface Science Letters*, **513**(2), pp. L425-L429 (2002).
- [4] В.К. Медведев, Т.П. Смерека, С.И. Степановский, Ф.М. Гончар. Адсорбция тербия и самария на грани (112) кристалла вольфрама. // *УФЖ*, **37**(7), сс.1053-1057 (1992).
- [5] Ф.М. Гончар, В.К. Медведев, Т.П. Смерека и др. Адсорбция гадолиния и диспрозия на грани (112) монокристалла вольфрама. // *ФТТ*, **29**(9), сс.2833-2836 (1987).
- [6] Ф.М. Гончар, В.К. Медведев, Т.П. Смерека, В.В. Савичев. Адсорбция гольмия на грани (112) монокристалла вольфрама. // *ФТТ*, **31**(6), сс.249-251 (1989).
- [7] J. Kolaczkiwicz and E. Bauer. The adsorption of europium and terbium on the tungsten (211) surface. // *Surface Science*, **154**, pp.357-370 (1985).
- [8] М.С. Гупало, В.К. Медведев, Т.П. Смерека и др. Адсорбция лантана на грани (100) монокристалла вольфрама. // *ФТТ*, **19**(10), сс.2955-2959 (1977).
- [9] В.К. Никулин, Н.Д. Потехина. Эффект изменения валентного состояния атомов редкоземельных элементов при адсорбции на переходных металлах. // *ФТТ*, **20**(11), сс.3354-3357 (1978).
- [10] С.Глесстон, К.Лейдлер, Г.Эйринг. *Теория абсолютных скоростей реакций*. ИЛ, М., (1948).
- [11] С.І.Степановський, Т.П.Смерека, М.С.Гупало і ін. Електронний стан атомів тербію, адсорбованих на вольфрамі. // *Вісн. Львів. ун-ту. Сер. фіз. Електронні процеси в твердих тілах*, **21**, сс.99-102 (1987).

V.V. Gozhenko¹, L.G. Grechko¹, N.L. Dmytruk² and O.Yu. Semchuk¹

Optical Properties of a Small Sphere near a Substrate

*Institute of Surface Chemistry of the NAS of Ukraine,
17 General Naumov str., Kyiv 03164, tel. +380 (044) 444-96-97, E-mail: user@surfchem.freenet.kiev.ua
Institute of Semiconductor Physics of the NAS of Ukraine*

Substrate influence on the optical properties of a small spherical particle is considered in the electrostatic approximation. A set of equations for solving the multipole coefficients of the electrostatic potential expansion is derived for a model system of a homogeneous sphere placed in a homogeneous external electric field near a semi-infinite substrate. In the dipole approximation, the polarizability tensor of the sphere is obtained, and the substrate effects on the optical spectra of the sphere are analyzed.